

УДК 621.039.542.342:546.77.78

Взаимодействие двуокиси урана с вольфрамом и молибденом

Крюкова Н. С., Панов А. С.

Характер и степень взаимодействия металлов и сплавов с ядерным топливом определяются температурой и продолжительностью ее влияния, а также составом и структурой материалов [1—5]. В частности, на примере взаимодействия UO_2 с вольфрамом и молибденом можно проследить, как отклонения от стехиометрического состава UO_2 и структурные дефекты вольфрама и молибдена влияют на развитие этих процессов. Для экспериментов использовали образцы плавленых тугоплавких металлов чистотой 99,99% и спеченные таблетки UO_2 .

Взаимодействие моно- и поликристаллических вольфрама и молибдена с UO_2 , имеющей состав, близкий к стехиометрическому ($\text{O}/\text{U} = 2,001 \div 2,003$), изучали при 1700 и 1900 °C и продолжительности отжигов $7 \cdot 10^3$ и $3 \cdot 10^3$ ч соответственно. Во всех случаях взаимодействие сводилось лишь к образованию твердых растворов урана и кислорода в тугоплавких металлах и вольфрама или молибдена в UO_2 .

Концентрации кислорода и урана в тугоплавких металлах были невелики; например, концентрация урана не достигала предела растворимости [6] даже у границы с таблеткой UO_2 . Распределение урана (рис. 1) в монокристаллическом вольфраме после диффузионного отжига при 1700 °C в течение $3 \cdot 10^3$ — $7 \cdot 10^3$ ч и в поликристаллическом вольфраме после отжига в течение $2 \cdot 10^3$ — $5 \cdot 10^3$ ч характеризуется наличием двух прямолинейных участков. При менее продолжительных испытаниях на кривой распределения наблюдался один прямолинейный участок. Те же закономерности проявлялись и при взаимодействии с молибденом.

При кратковременных испытаниях концентрация урана и глубина его проникновения в поликристаллические образцы были несколько выше, чем в монокристаллы, но по мере увеличения продолжительности испытания эти различия сглаживались. Например, отношение концентрации урана в поликристаллических образцах вольфрама на расстоянии 20 мкм от границы раздела с UO_2 после 10^3 ч составляло ~ 30 и уменьшалось примерно до 1,5 после отжига в течение $5 \cdot 10^3$ ч. Это сближение значений концентрации свидетельствует о постепенном уменьшении вклада диффузии по границам зерен в общий диффузионный поток в поликристаллах за счет развития процессов рекристаллизации и об увеличении влияния путей ускоренной диффузии за счет накопления и локализации структурных дефектов в монокристаллах.

Из рис. 1 видно, что концентрация урана в тугоплавких металлах на границе раздела с UO_2 постепенно росла, приближаясь к постоянному значению. Существенные изменения этой концентрации, наблюдаемые в течение первых тысяч часов (рис. 2), вызваны изменением состава UO_2 в процессе взаимодействия. Так как исходные образцы UO_2 имели небольшой избыток кислорода, а стабильные при 1700 °C составы UO_2 для вольфрама и молибдена характеризуются [1] отношением $\text{O}/\text{U} = 1,996$ и $\text{O}/\text{U} = 1,999$ соответственно, то изменение состава UO_2 на начальной стадии отжига могло быть связано с более быстрым уходом кислорода. После достижения стабильного состава отношение потоков урана и кислорода становится пропорциональным их концентрации в топливе. Об изменении состава UO_2 во время отжига в герметичных контейнерах из молибдена сообщалось ранее [2, 3].

По экспериментальным данным и известным решениям уравнений диффузии [1, 7] для постоянного и переменного источников были рассчитаны коэффициенты диффузии урана из UO_2 в вольфрам и молибден. Наиболее близкими к известным [1] оказались коэффициенты, вычисленные

для постоянного источника по вторым прямолинейным участкам и для переменного источника по первым прямолинейным участкам концентрационных кривых. При расчете по вторым участкам коэффициент диффузии урана в вольфрам при 1700 °C составил $(4,8 \pm 1,1) \cdot 10^{-12}$ см²/с, а по первым участкам $(10,4 \pm 2,1) \cdot 10^{-12}$ см²/с; коэффициент диффузии урана в молибден по этим вариантам равен $(2,6 \pm 0,4) \cdot 10^{-11}$ и $(4,3 \pm 2,4) \cdot 10^{-11}$ см²/с. Опубликованные [1] значения коэффициента диффузии урана

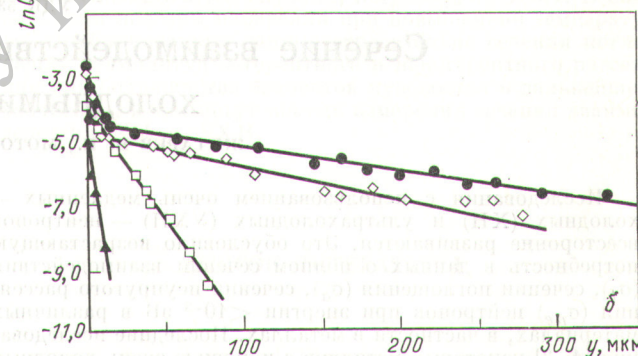
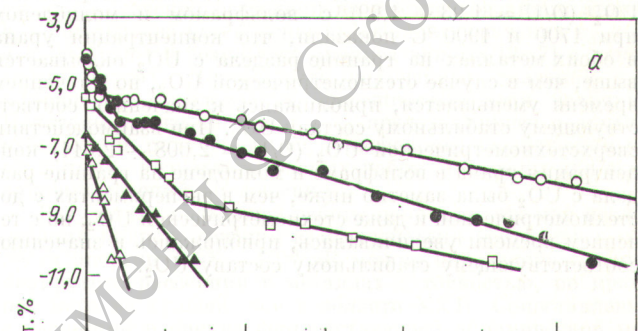


Рис. 1. Распределение урана в поликристаллическом (а) и монокристаллическом (б) вольфраме после взаимодействия с двуокисью урана при 1700 °C в течение $8 \cdot 10^2$ (Δ); 10^3 (▲); $2 \cdot 10^3$ (□); $3 \cdot 10^3$ (◊); $5 \cdot 10^3$ (●) и $7 \cdot 10^3$ ч (○).

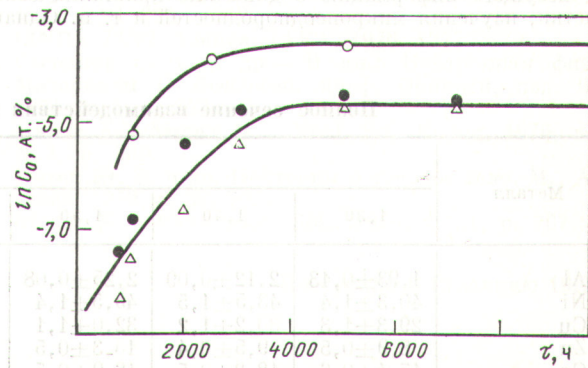


Рис. 2. Изменение концентрации урана на границе раздела двуокиси урана — тугоплавкий металл после диффузионного отжига при 1700 °C для поликристаллического (Δ) и монокристаллического (●) вольфрама и монокристаллического молибдена (○).

в вольфрам и молибден при такой же температуре составляют $7,9 \cdot 10^{-12}$ и $6,8 \cdot 10^{-11} \text{ см}^2/\text{с}$ соответственно.

С увеличением длительности отжига изменение концентрации на границе раздела с UO_2 замедляется, протяженность первого участка концентрационной кривой сокращается, и точка перегиба постепенно смещается к поверхности раздела. Так, для поликристаллического вольфрама после отжига при 1700°C в течение $2 \cdot 10^3$, $3 \cdot 10^3$, $5 \cdot 10^3$ и $7 \cdot 10^3$ ч точка перегиба располагалась на расстоянии 65, 32, 22 и 10 мкм от границы раздела $\text{W} - \text{UO}_2$. Аналогичная картина наблюдалась и при взаимодействии UO_2 с монокристаллическим вольфрамом и молибденом. Таким образом, перенос урана из UO_2 в тугоплавкие металлы в первые тысячи часов (до 4000 ч) соответствовал диффузии из переменного источника, а при более длительных отжигах — диффузии из постоянного источника, что неплохо соглашается с данными рис. 2.

Исследования взаимодействия дистехиометрической UO_2 ($\text{O}/\text{U} = 1,93 \pm 1,99$) с вольфрамом и молибденом при 1700 и 1900°C показали, что концентрация урана в обоих металлах на границе раздела с UO_2 оказывается выше, чем в случае стехиометрической UO_2 , но с течением времени уменьшается, приближаясь к значению, соответствующему стабильному составу UO_2 . При взаимодействии сверхстехиометрической UO_2 ($\text{O}/\text{U} = 2,008 \pm 2,011$) концентрация урана в вольфраме и молибдене на границе раздела с UO_2 была заметно ниже, чем в экспериментах с дистехиометрической и даже стехиометрической UO_2 , но с течением времени увеличивалась, приближаясь к значению, соответствующему стабильному составу UO_2 .

В целях снижения взаимодействия окисного топлива с вольфрамом или молибденом предпочтительнее использовать дистехиометрическую UO_2 с составом, близким к стабильному. При больших выгораниях, когда в результате деления атомов урана заметно возрастает отношение O/U [8], целесообразнее применять дистехиометрическую UO_2 , у которой отношение O/U меньше значения, соответствующего стабильному составу.

СПИСОК ЛИТЕРАТУРЫ

1. Загрязкин В. Н. и др.— In: Thermodynamics Nuclear Materials. Vienna, IAEA, 1975, v. 2, p. 198.
2. Grossman L.— In: High Temperature Nuclear Fuels. N.Y.—London—Paris, 1968, p. 501.
3. Kaznoff A. e.a.— Trans. Amer. Nucl. Soc., 1964, v. 7, N 1, p. 100; 1965, v. 8, N 1, p. 32.
4. Fryxell R. e.a.— [2], p. 211.
5. Adamson M. e.a.— In: Proc. Intern. Symp. on Thermodynamics Nuclear Materials. Jülich, 1979, IAEA-SM-236-63.
6. Кутайцев В. И. Сплавы урана, тория и плутония. М., Атомиздат, 1962.
7. Бэррер Р. Диффузия в твердых телах. М., Изд. иностран. лит., 1948.
8. Schumacher G.— J. Nucl. Mater., 1979, v. 81, N 1-2, p. 53.

Поступило в Редакцию 13.05.80
В окончательной редакции 28.08.80

УДК 539.125.5.162.2

Сечение взаимодействия некоторых металлов с холодаными нейтронами

ЖИТАРЕВ В. Е., МОТОРИН А. М., СТЕПАНОВ С. Б.

Исследования с использованием очень медленных — холодающих (ХН) и ультрахолодающих (УХН) — нейтронов всесторонне развиваются. Это обусловило возрастающую потребность в данных о полном сечении взаимодействия (σ_t), сечении поглощения (σ_a), сечении неупругого рассеяния (σ_{ne}) нейтронов при энергии $< 10^{-3}$ эВ в различных материалах, в частности в металлах. Последние исследования [1, 2] некоторых металлов с помощью очень холодающих нейтронов и УХН ($10^{-7} \leq E \leq 10^{-5}$ эВ) показали возможность использовать результаты измерения σ_t для достаточно точного определения σ_a , выделения компонента σ_{ne} , несущего информацию о динамике кристаллической решетки, изучения микронеоднородностей и т. п. Однако

число подобных работ невелико, а экспериментальных данных о сечениях в области энергии $10^{-4} - 10^{-3}$ эВ еще меньше [3, 4]. Для некоторых элементов таких данных нет вообще. Экстраполяция сечения из области тепловых нейтронов или УХН может привести к погрешности как за счет неточности использованных данных, так и из-за возможного отклонения от закона $\sigma_{ne} \sim \lambda$ при длине волн нейтронов $\lambda \leq 2$ нм [1].

В настоящей работе полное сечение σ_t измерено в нескольких металлах при комнатной температуре (22 ± 3) °C для нейтронов с длиной волны 1,3—1,9 нм. Измерения выполнены на кристаллическом спектрометре [5] с разрешением по длине волны $\Delta\lambda/\lambda \approx 0,03$. В качестве

Таблица 1

Полное сечение взаимодействия холодающих нейтронов в металлах, 10^{28} м^2

Металл	$\lambda, \text{ нм}$							
	1,30	1,40	1,50	1,60	1,70	1,80	1,90	2,06
Al	$1,93 \pm 0,13$	$2,12 \pm 0,09$	$2,25 \pm 0,08$	$2,38 \pm 0,07$	$2,54 \pm 0,06$	$2,61 \pm 0,06$	$2,82 \pm 0,08$	$3,15 \pm 0,06$
Ni	$40,3 \pm 1,4$	$43,5 \pm 1,5$	$45,5 \pm 1,4$	$48,3 \pm 1,5$	$50,8 \pm 1,9$	$53,1 \pm 1,6$	$57,1 \pm 1,5$	$61,0 \pm 1,0$
Cu	$29,3 \pm 1,3$	$30,2 \pm 1,2$	$32,0 \pm 1,4$	$34,0 \pm 1,0$	$36,8 \pm 0,8$	$40,0 \pm 1,1$	$41,0 \pm 1,3$	—
Zn	$8,9 \pm 0,5$	$9,5 \pm 0,4$	$10,3 \pm 0,5$	$11,1 \pm 0,4$	$11,4 \pm 0,4$	$11,9 \pm 0,4$	$12,7 \pm 0,3$	$13,6 \pm 0,4$
Ge	$17,4 \pm 0,6$	$18,2 \pm 0,5$	$18,9 \pm 0,5$	$21,6 \pm 0,5$	$22,1 \pm 0,4$	$23,2 \pm 0,4$	$23,8 \pm 0,6$	$26,3 \pm 0,7$
Sn	$4,3 \pm 0,5$	$4,5 \pm 0,5$	$4,7 \pm 0,3$	$5,0 \pm 0,3$	$5,3 \pm 0,3$	$5,6 \pm 0,3$	$6,4 \pm 0,3$	$6,5 \pm 0,4$
Pb	$2,42 \pm 0,10$	$2,55 \pm 0,31$	$2,79 \pm 0,36$	$2,91 \pm 0,23$	$3,27 \pm 0,23$	$3,07 \pm 0,20$	$3,31 \pm 0,20$	$3,55 \pm 0,15$